

ДИСЦИПЛИНА	Разработка и эксплуатация радиотелеметрических систем часть 1
	полное название дисциплины без аббревиатуры
ИНСТИТУТ	Радиотехнических и телекоммуникационных систем
КАФЕДРА	радиоволновых процессов и технологий
	полное название кафедры
ГРУППА/Ы	РССО-1,2,3-19; РРБО-1,2-19; РИБО-1,2,3,4-19
	номер групп/ы, для которых предназначены материалы
ВИД УЧЕБНОГО МАТЕРИАЛА	Лекция №5
	лекция; материал к практическим занятиям; контрольно-измерительные материалы к практическим занятиям; руководство к КР/КП, практикам
ПРЕПОДАВАТЕЛЬ	Исаков Владимир Николаевич
	фамилия, имя, отчество
СЕМЕСТР	5
	указать номер семестра обучения

Лекция 5

5. Преобразование Лапласа

5.1. Прямое и обратное преобразование Лапласа

Прямое и обратное преобразования Лапласа определяются выражениями:

$$\bar{S}(p) = \int_0^{+\infty} s(t)e^{-pt} dt,$$

$$s(t) = \frac{1}{2\pi j} \int_{\alpha-j\infty}^{\alpha+j\infty} \bar{S}(p)e^{pt} dp, \alpha > \alpha_0.$$

Функция $\bar{S}(p) \in \mathbb{C}$ комплексной переменной $p \in \mathbb{C}$ называется изображением сигнала $s(t)$. Сигнал и его изображение взаимно-однозначно связаны друг с другом преобразованием Лапласа, что принято обозначать как $s(t) \doteq \bar{S}(p)$. Прямое преобразование Лапласа сокращённо будем записывать как

$$\bar{S}(p) = L_t \{s(t); p\} = L \{s(t)\},$$

а обратное

$$s(t) = L_p^{-1} \{\bar{S}(p); t\} = L^{-1} \{\bar{S}(p)\}.$$

Преобразование Лапласа рассматривается для сигналов, удовлетворяющих условиям:

$$1. s(t)|_{t<0} = 0,$$

$$2. \exists M > 0, \alpha_0 > 0 : \forall t \geq 0 \Rightarrow |s(t)| \leq Me^{\alpha_0 t},$$

параметр α_0 называется показателем роста.

При этом изображение существует и аналитично в области $\operatorname{Re} p > \alpha_0$.

5.2. Свойства преобразования Лапласа

5.2.1. Линейность

$$k_1, k_2 \in \mathbb{C} \Rightarrow L \{k_1 s_1(t) + k_2 s_2(t)\} = k_1 L \{s_1(t)\} + k_2 L \{s_2(t)\}.$$

Это свойство следует из свойства линейности интеграла и его доказательство очевидно.

5.2.2. Запаздывание сигнала

Пусть $t_0 > 0$ - параметр запаздывания, тогда

$$L\{s(t-t_0)\} = L\{s(t)\} e^{-pt_0}.$$

Доказательство:

$$\begin{aligned} L\{s(t-t_0)\} &= \int_0^{+\infty} s(t-t_0) e^{-pt} dt = \left[\begin{matrix} t' = t-t_0 \\ dt' = dt \end{matrix} \right] = \int_{-t_0}^{+\infty} s(t') e^{-pt'} e^{-pt_0} dt' = \\ &= e^{-pt_0} \int_0^{+\infty} s(t') e^{-pt'} dt' = L\{s(t)\} e^{-pt_0}. \end{aligned}$$

5.2.3. Изменение масштаба времени

Пусть $a > 0$ - параметр масштаба, тогда

$$L\{s(at)\} = \frac{1}{a} L\left\{s(t); \frac{p}{a}\right\}.$$

Доказательство:

$$\begin{aligned} L\{s(at)\} &= \int_0^{+\infty} s(at) e^{-pt} dt = \left[\begin{matrix} t' = at \\ dt' = a dt \end{matrix} \right] = \frac{1}{a} \int_0^{+\infty} s(t') e^{-\frac{p}{a} t'} dt' = \\ &= \frac{1}{a} L\left\{s(t); \frac{p}{a}\right\}. \end{aligned}$$

5.2.4. Дифференцирование сигнала

$$L\left\{\frac{ds(t)}{dt}\right\} = pL\{s(t)\} - s(0).$$

Доказательство:

$$\begin{aligned} L\left\{\frac{ds(t)}{dt}\right\} &= \int_0^{+\infty} \frac{ds(t)}{dt} e^{-pt} dt = \int_0^{+\infty} e^{-pt} ds(t) = \\ &= e^{-pt} s(t) \Big|_0^{+\infty} - \int_0^{+\infty} s(t) de^{-pt}. \end{aligned}$$

В области существования изображения $\operatorname{Re} p > \alpha_0$ и первое слагаемое в записанном выражении даёт $s(0)$, поэтому

$$L\left\{\frac{ds(t)}{dt}\right\} = p \int_0^{+\infty} s(t)e^{-pt} dt - s(0) = pL\{s(t)\} - s(0).$$

5.2.5. Интегрирование сигнала

$$L\left\{\int_0^t s(t')dt'\right\} = \frac{1}{p} L\{s(t)\}.$$

Доказательство:

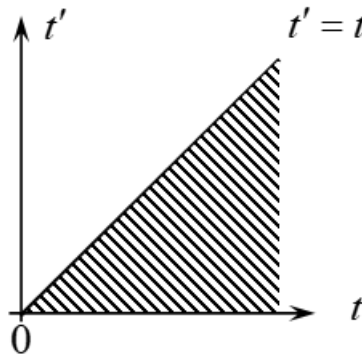


Рис.5.1. Область интегрирования

$$\begin{aligned} L\left\{\int_0^t s(t')dt'\right\} &= \int_0^{+\infty} \int_0^t s(t')dt'e^{-pt} dt = \int_{t'=0}^{+\infty} \left(\int_{t=t'}^{+\infty} e^{-pt} dt \right) s(t')dt' = \\ &= -\frac{1}{p} \int_{t'=0}^{+\infty} s(t') \left(e^{-pt} \Big|_{t=t'}^{+\infty} \right) dt' = \frac{1}{p} \int_0^{+\infty} s(t')e^{-pt'} dt' = \frac{1}{p} L\{s(t)\}. \end{aligned}$$

5.2.6. Теорема о свёртке

$$L\{s_1 * s_2(t)\} = L\{s_1(t)\} L\{s_2(t)\}.$$

Доказательство:

$$\begin{aligned} L\{s_1 * s_2(t)\} &= L_t \left\{ \int_0^{+\infty} s_1(t')s_2(t-t')dt' \right\} = \int_0^{+\infty} s_1(t')L_t\{s_2(t-t')\} dt' = \\ &= \int_0^{+\infty} s_1(t')L_t\{s_2(t)\} e^{-pt'} dt' = L\{s_2(t)\} \int_0^{+\infty} s_1(t')e^{-pt'} dt' = \\ &= L\{s_1(t)\} L\{s_2(t)\}. \end{aligned}$$

5.2.7. Предельные равенства

$$\lim_{p \rightarrow 0} p\bar{S}(p) = \lim_{t \rightarrow +\infty} s(t),$$

$$\lim_{p \rightarrow \infty} p\bar{S}(p) = \lim_{t \rightarrow 0} s(t).$$

5.3. Преобразование Лапласа и преобразование Фурье

Рассмотрим выражения для преобразования Лапласа и преобразования Фурье некоторого сигнала $s(t)|_{t < 0} = 0$:

$$S(\omega) = \int_0^{+\infty} s(t)e^{-j\omega t} dt,$$

$$\bar{S}(p) = \int_0^{+\infty} s(t)e^{-pt} dt = \int_0^{+\infty} s(t)e^{-\alpha t} e^{-j\omega t} dt.$$

Преобразование Лапласа можно рассматривать как преобразование Фурье сигнала $\bar{s}(t) = s(t)e^{-\alpha t}$. Добавление множителя $e^{-\alpha t}$ приводит к тому, что класс сигналов, для которых существует преобразование Лапласа оказывается шире, чем класс сигналов, для которых существует преобразование Фурье. Преобразование Лапласа рассматривается и для сигналов, не затухающих на бесконечности, и для возрастающих сигналов (не быстрее экспоненциального роста).

Преобразование Фурье можно рассматривать как преобразование Лапласа, при переносе контура интегрирования на мнимую ось $\alpha \rightarrow 0$. Такой перенос контура интегрирования возможен для убывающих сигналов, поскольку для них может быть выбрано $\alpha_0 = 0$ и для ограниченных неубывающих сигналов, но с учётом того, что при таком переносе на контуре интегрирования могут появиться особые точки подынтегральной функции.

Рассмотрим простой случай убывающих сигналов:

$$s(t) = \frac{1}{2\pi j} \int_{\alpha - j\infty}^{\alpha + j\infty} \bar{S}(p)e^{pt} dp = [\alpha \rightarrow 0] = \frac{1}{2\pi j} \int_{-j\infty}^{+j\infty} \bar{S}(p)e^{pt} dp =$$

$$= \left[\begin{array}{l} p = j\omega \\ dp = jd\omega \end{array} \right] = \frac{1}{2\pi} \int_{-\infty}^{+\infty} \bar{S}(j\omega) e^{j\omega t} d\omega.$$

Взяв прямое преобразование Фурье от левой и правой частей записанного равенства, получим

$$S(\omega) = \bar{S}(j\omega) = \bar{S}(p) \Big|_{p=j\omega}.$$

Выражение для спектральной плотности сигнала получается из выражения для его изображения при замене в последнем p на $j\omega$.

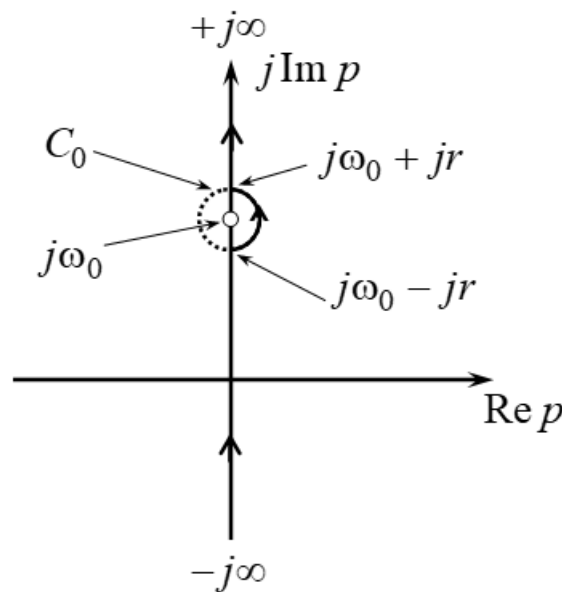


Рис.5.2. К доопределению интеграла

Рассмотрим случай ограниченных неубывающих сигналов. Для них мнимая ось является границей области аналитичности и на ней могут располагать особые точки изображения. В этом случае значение интеграла, который мы получаем при переносе контура оказывается в строгом смысле неопределённым. В подобных случаях часто оказывается удобным доопределение интегралов по Коши. Суть доопределения заключается в том, что в бесконечно маленькой окрестности особой точки на контуре интегрирования допускают малую деформацию контура интегрирования, которая позволяет его провести в обход проблемной точки. При этом «обходной фрагмент» формально считают половинкой окружности бесконечно-малого радиуса r с центром в проблемной точке (рис.5.2). Далее интеграл считается по контуру с исключённой особенностью — получается так называемое главное значение интеграла.

ла по Коши, затем учитываются поправки на обход проблемных точек.

В окрестности некоторой особой точки, соответственно рис., имеем:

$$s(t) = \frac{1}{2\pi j} \int_{\alpha-j\infty}^{\alpha+j\infty} \bar{S}(p)e^{pt} dp = [\alpha \rightarrow 0] = \\ = \frac{1}{2\pi j} \lim_{r \rightarrow 0} \left(\int_{-j\infty}^{j\omega_0-jr} \bar{S}(p)e^{pt} dp + \int_{j\omega_0-jr}^{j\omega_0+jr} \bar{S}(p)e^{pt} dp + \int_{j\omega_0+jr}^{+j\infty} \bar{S}(p)e^{pt} dp \right).$$

В записанном выражении слагаемое

$$\lim_{r \rightarrow 0} \int_{j\omega_0-jr}^{j\omega_0+jr} \bar{S}(p)e^{pt} dp = \frac{1}{2} \oint_{C_0} \bar{S}(p)e^{pt} dp = \pi j \operatorname{res}_{p=j\omega_0} \bar{S}(p)e^{pt}$$

представляет собой добавку на обходном фрагменте контура. Формально это половина интеграла по окружности C_0 с центром в особой точке $j\omega_0$, который может быть найден с учётом теоремы о вычетах.

Другие два слагаемых

$$\lim_{r \rightarrow 0} \left(\int_{-j\infty}^{j\omega_0-jr} \bar{S}(p)e^{pt} dp + \int_{j\omega_0+jr}^{+j\infty} \bar{S}(p)e^{pt} dp \right) = v.p. \int_{-j\infty}^{+j\infty} \bar{S}(p)e^{pt} dp$$

дают исходный интеграл, с исключением из контура особенностей, то есть главное значение интеграла по Коши, что обозначается «v.p.».

Преобразуем

$$v.p. \int_{-j\infty}^{+j\infty} \bar{S}(p)e^{pt} dp = [p = j\omega] = j v.p. \int_{-\infty}^{+\infty} \bar{S}(j\omega)e^{j\omega t} d\omega.$$

Возвращаясь к исходной задаче, запишем

$$s(t) = \frac{1}{2} \operatorname{res}_{p=j\omega_0} \bar{S}(p)e^{pt} + \frac{1}{2\pi} v.p. \int_{-\infty}^{+\infty} \bar{S}(j\omega)e^{j\omega t} d\omega.$$

В общем случае на мнимой оси может оказаться N особенностей изображения сигнала. Повторяя проведённые рассуждения для каждой из точек, получим

$$s(t) = \frac{1}{2} \sum_{n=0}^{N-1} \operatorname{res}_{p_n=j\omega_n} \bar{S}(p) e^{pt} + \frac{1}{2\pi} \text{v.p.} \int_{-\infty}^{+\infty} \bar{S}(j\omega) e^{j\omega t} d\omega.$$

Взяв теперь прямое преобразование Фурье от левой и правой частей записанного равенства, найдём:

$$S(\omega) = \frac{1}{2} F \left\{ \sum_{n=0}^{N-1} \operatorname{res}_{p_n=j\omega_n} \bar{S}(p) e^{pt} \right\} + \bar{S}(j\omega).$$

В качестве примера рассмотрим функцию Хевисайда $\sigma(t)$. Её преобразование Лапласа

$$\bar{\Sigma}(p) = \int_0^{+\infty} \sigma(t) e^{-pt} dt = -\frac{1}{p} \int_0^{+\infty} e^{-pt} d(-pt) = -\frac{e^{-pt}}{p} \Big|_0^{+\infty} = \frac{1}{p}.$$

Изображение имеет единственный полюс $p_0 = 0$ на мнимой оси. Для спектральной плотности получим:

$$\Sigma(\omega) = \frac{1}{2} F \left\{ \operatorname{res}_{p=0} \frac{e^{pt}}{p} \right\} + \frac{1}{j\omega} = \frac{1}{2} F \{1\} + \frac{1}{j\omega} = \pi \delta(\omega) + \frac{1}{j\omega}.$$

В качестве второго примера рассмотрим гармонический сигнал

$$s(t) = A\sigma(t) \cos(\omega_0 t + \varphi),$$

его преобразование Лапласа

$$\begin{aligned} \bar{S}(p) &= A \int_0^{+\infty} \sigma(t) \cos(\omega_0 t + \varphi) e^{-pt} dt = \\ &= \frac{1}{2} A e^{j\varphi} \int_0^{+\infty} e^{j\omega_0 t} e^{-pt} dt + \frac{1}{2} A e^{-j\varphi} \int_0^{+\infty} e^{-j\omega_0 t} e^{-pt} dt = \\ &= \frac{1}{2} A e^{j\varphi} \int_0^{+\infty} e^{-(p-j\omega_0)t} dt + \frac{1}{2} A e^{-j\varphi} \int_0^{+\infty} e^{-(p+j\omega_0)t} dt = \\ &= -\frac{1}{2} \frac{A e^{j\varphi}}{p-j\omega_0} e^{-(p-j\omega_0)t} \Big|_0^{+\infty} - \frac{1}{2} \frac{A e^{-j\varphi}}{p+j\omega_0} e^{-(p+j\omega_0)t} \Big|_0^{+\infty} = \\ &= \frac{1}{2} \frac{A e^{j\varphi}}{p-j\omega_0} + \frac{1}{2} \frac{A e^{-j\varphi}}{p+j\omega_0} = A \operatorname{Re} \frac{A e^{j\varphi}}{p-j\omega_0} = \end{aligned}$$

$$\begin{aligned}
&= A \operatorname{Re} \frac{\cos \varphi + j \sin \varphi}{p^2 + \omega_0^2} (p + j\omega_0) = \\
&= A \operatorname{Re} \frac{p \cos \varphi + jp \sin \varphi + j\omega_0 \cos \varphi - \omega_0 \sin \varphi}{p^2 + \omega_0^2} \\
&= A \frac{p \cos \varphi - \omega_0 \sin \varphi}{p^2 + \omega_0^2}.
\end{aligned}$$

Изображение имеет два полюса на мнимой оси $p_{0,1} = \pm j\omega_0$,

$$\begin{aligned}
S(\omega) &= \frac{1}{2} F \left\{ \sum_{n=0}^{N-1} \operatorname{res}_{p_n=j\omega_n} \bar{S}(p) e^{pt} \right\} + \bar{S}(j\omega) = \\
&= \frac{1}{2} F \left\{ \operatorname{res}_{p_0=j\omega_0} A \frac{p \cos \varphi - \omega_0 \sin \varphi}{p^2 + \omega_0^2} e^{pt} + \right. \\
&\quad \left. + \operatorname{res}_{p_1=-j\omega_0} A \frac{p \cos \varphi - \omega_0 \sin \varphi}{p^2 + \omega_0^2} e^{pt} \right\} + \\
&\quad + A \frac{j\omega \cos \varphi - \omega_0 \sin \varphi}{\omega_0^2 - \omega^2}.
\end{aligned}$$

Найдём отдельно вычеты

$$\begin{aligned}
&\operatorname{res}_{p_0=\pm j\omega_0} A \frac{p \cos \varphi - \omega_0 \sin \varphi}{p^2 + \omega_0^2} e^{pt} = \\
&= A \frac{p \cos \varphi - \omega_0 \sin \varphi}{(p + j\omega_0)(p - j\omega_0)} e^{pt} (p \mp j\omega_0) \Big|_{p=\pm j\omega_0} = \\
&= \pm A \frac{\pm j\omega_0 \cos \varphi - \omega_0 \sin \varphi}{2j\omega_0} e^{\pm j\omega_0 t} = A \frac{\cos \varphi \pm j \sin \varphi}{2} e^{\pm j\omega_0 t} = \frac{A}{2} e^{\pm j(\omega_0 t + \varphi)}.
\end{aligned}$$

Подставим найденное в исходное выражение

$$\begin{aligned}
S(\omega) &= \frac{A}{4} F \left\{ e^{j(\omega_0 t + \varphi)} + e^{-j(\omega_0 t + \varphi)} \right\} + A \frac{j\omega \cos \varphi - \omega_0 \sin \varphi}{\omega_0^2 - \omega^2} = \\
&= \frac{Ae^{j\varphi}}{4} F \left\{ e^{j\omega_0 t} \right\} + \frac{Ae^{-j\varphi}}{4} F \left\{ e^{-j\omega_0 t} \right\} + A \frac{j\omega \cos \varphi - \omega_0 \sin \varphi}{\omega_0^2 - \omega^2} =
\end{aligned}$$

$$\begin{aligned}
&= \frac{Ae^{j\varphi}}{4} F\{1; \omega - \omega_0\} + \frac{Ae^{-j\varphi}}{4} F\{1; \omega + \omega_0\} + A \frac{j\omega \cos \varphi - \omega_0 \sin \varphi}{\omega_0^2 - \omega^2} = \\
&= \frac{A\pi e^{j\varphi}}{2} \delta(\omega - \omega_0) + \frac{A\pi e^{-j\varphi}}{2} \delta(\omega + \omega_0) + A \frac{j\omega \cos \varphi - \omega_0 \sin \varphi}{\omega_0^2 - \omega^2}.
\end{aligned}$$

Литература

Основная литература

1. Радиотехнические цепи и сигналы: Учеб. для вузов / О. А. Стеценко. — М.: Высш. шк., 2007.
2. Радиотехнические цепи и сигналы: Учебник для студентов радиотехн. спец. вузов / И. С. Гоноровский. — М.: Дрофа, 2006.
3. Радиотехнические цепи и сигналы: Учебник для студентов радиотехн. спец. вузов / И. С. Гоноровский. — М.: Радио и связь, 1986.
4. Радиотехнические цепи и сигналы: учеб. для вузов / С. И. Баскаков. — М.: Высш. шк., 2000.

Дополнительная литература

5. Теория радиотехнических цепей / Н. В. Зернов, В. Г. Карпов. — Л.: Энергия, 1972. — 816 с.: ил. — Библиогр.: с. 804 (15 назв.)
6. Сигналы. Теоретическая радиотехника: Справ. пособие / А. Н. Денисенко. — М.: Горячая линия - Телеком, 2005. — 704 с.
7. Справочник по математике для инженеров и учащихся вузов / И. Н. Бронштейн, К. А. Семендяев. — М.: Наука, 1998. — 608 с.